

Abril 2026
vol. 04

**BOLETÍN MENSUAL
VIGILANCIA DEL OZONO
ATMOSFÉRICO EN EL
OBSERVATORIO DE
VIGILANCIA ATMOSFÉRICA
MARCAPOMACOCHA**



Introducción

La capa de ozono se encuentra dentro de la atmósfera terrestre y tiene la función de ser una capa protectora que preserva la vida del planeta Tierra, haciendo las veces de escudo contra la radiación proveniente del sol llamados UV o radiación ultravioleta, absorbiendo del 97% al 99% de ella. Se encuentra a una distancia de la superficie de la tierra de 15 a 50 kilómetros de altura en mayor concentración, aunque cercano al suelo también está presente.

La emisión de halocarbonos –compuestos químicos sintéticos derivados de la actividad humana– ha acelerado la degradación de la capa de ozono en los últimos 30 años, superando con creces su ritmo de fluctuación natural. Este fenómeno provoca el adelgazamiento de dicha capa y la formación de los denominados “agujeros de ozono”, lo que disminuye la protección del planeta contra la radiación ultravioleta (UV). Una mayor intensidad de esta radiación incrementa el riesgo en la población de padecer afecciones como cáncer de piel, cataratas oculares y el debilitamiento del sistema inmunológico.

Ante este escenario global, el Perú, como Estado firmante del Protocolo de Montreal, reduce progresivamente el consumo de sustancias que agotan la capa de ozono. Asimismo, a través del SENAMHI, se monitorea constantemente su estado en la región central del país. El objetivo es alertar a la comunidad científica nacional e internacional sobre su variabilidad temporal y posible deterioro, analizando además su estrecha relación con el cambio climático global.

ANTECEDENTES

El SENAMHI cuenta con el Observatorio de Vigilancia Atmosférica (OVA) Marcapomacocha, ubicada en la sierra central del país (provincia de Yauli y departamento de Junín), asimismo, se encuentra a una altitud de 4,479 metros sobre el nivel del mar, a una latitud de 11°24'18"S y longitud de 76°19'31"O. Es una de las pocas estaciones a nivel mundial cercanas a la línea ecuatorial y en un medio natural megadiverso. A nivel sudamericano conjuntamente con las estaciones VAG de Natal (Brasil) y Chacaltaya (Bolivia) son las que reportan información continua de las propiedades físicas y químicas de la atmósfera en esta parte del continente.

Las actividades del OVA Marcapomacocha se enmarcan en las mediciones de la concentración de ozono total atmosférico en forma diaria realizadas con el Espectrofotómetro Dobson el cual contribuye con el Programa de Vigilancia de la Atmósfera Global - VAG de la Organización Meteorológica Mundial - OMM. Otras variables como la radiación ultravioleta, radiación solar global y parámetros meteorológicos también se vienen midiendo en dicho observatorio.

Con las mediciones realizadas desde 1964 en el Perú, se ha podido conocer el estado y evolución del espesor de la capa de ozono sobre el territorio peruano y en general sobre la porción de la atmósfera tropical sobre el continente sudamericano.

En el futuro el OVA Marcapomacocha también podrá realizar mediciones de dióxido de carbono (CO₂) (gas de efecto invernadero) y carbono negro (hollín).



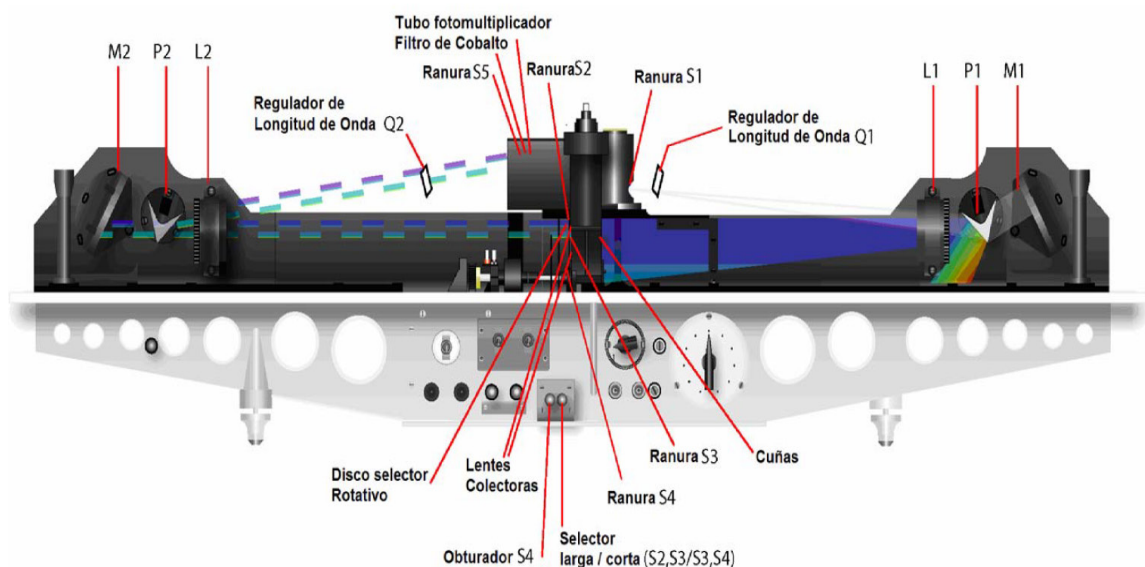
I.- CÁLCULO DEL OZONO ATMOSFÉRICO Y FUNCIONAMIENTO DEL ESPECTROFOTÓMETRO DOBSON

1.- MEDICION EN SUPERFICIE

El instrumento que permite medir las concentraciones de ozono total atmosférico se denomina Espectrofotómetro Dobson. Aunque las mediciones se realizan en forma indirecta porque lo que se mide son las intensidades relativas, de un par de longitudes de ondas (LDO), seleccionadas de antemano, siendo estas generadas y emanadas por el Sol o simplemente por el Zenith del cielo.

Su funcionamiento se basa en que la luz ingresa al instrumento a través de una ventana que se encuentra en la parte superior del mismo y después de su reflexión en un prisma incide en una ranura S1 (Figura 1) la cual consiste en un lente de cuarzo que hace que la luz sea paralela, un prisma que descompone la luz y un espejo que refleja la luz haciéndola volver al prisma y las lentes de tal manera que forma un espectro en el plano focal del instrumento. Las longitudes de onda que están involucradas se aíslan por medio de las ranuras S2, S3 y S4.

FIGURA N° 1
Funcionamiento del Espectrofotómetro Dobson



En la base o parte inferior del espectrofotómetro se encuentran dos palancas de obturación. La palanca S4 que se encuentra a la izquierda, se utiliza solamente cuando se realizan las pruebas, test o calibraciones al espectrofotómetro y deben ser introducidas en el instrumento, cuando se realicen las mediciones de ozono.

La selección de las longitudes de onda A, B, C o D cuando se efectúen las medidas de ozono se logra rotando las palancas a las posiciones Q1 y Q2 de acuerdo a la tabla Q propia del instrumento.

La cuña óptica se encuentra dentro del instrumento frente a la ranura S3. La posición de la cuña óptica se controla a través de un disco graduado que se encuentra en la parte superior del instrumento.

En cualquier posición del disco, la intensidad de la luz que pasa a través de la cuña óptica se reduce, la cual es determinada durante la calibración del instrumento.

Las intensidades relativas de las dos longitudes de onda en las cuales se efectúan las observaciones pueden obtenerse a partir de la lectura de la posición de equilibrio del disco y las tablas de calibración provistas con el instrumento.

2.- MEDICION DESDE SATÉLITE

Uno de los satélites que mide en forma continua la concentración de ozono es el satélite AURA el cual dispone de cuatro instrumentos para la medición de la tropósfera superior, estratósfera y mesósfera. El instrumento de monitoreo de ozono (OMI) continúa los 34 años de observación del ozono que comenzaron con el detector ultravioleta de retrodispersión (Backscatter Ultraviolet Detector, BUV) en 1970 y el espectrómetro de representación de la distribución de ozono total (Total Ozone Mapping Spectrometer, TOMS), en 1978. El OMI mide la luz solar reflejada y retrodispersada en las porciones ultravioleta y visible del espectro. Las capacidades hiperspectrales del instrumento (recopilación y procesamiento de la información a lo largo de todo el espectro electromagnético) mejoran la precisión y exactitud de las cantidades de ozono total.



II.-RESULTADOS.

Durante el mes de abril, la estratósfera baja de la región tropical mostró una tendencia al calentamiento, aunque se mantuvo por debajo de sus promedios climatológicos. Este comportamiento fue más evidente en la capa de 70 hPa, donde los valores se aproximaron a la normal debido a las bajas concentraciones de vapor de agua y a la persistencia de flujos de viento del este.

En la estratósfera media (niveles de 30 hPa y 10 hPa) también se registraron anomalías negativas con tendencia al calentamiento. Por el contrario, en la estratósfera alta (5 hPa a 1 hPa), el régimen térmico continuó por debajo de lo normal y con una marcada tendencia al descenso.

En la superficie, los promedios mensuales y los valores extremos de ozono disminuyeron en comparación con el mes anterior. Este descenso estuvo asociado a una menor intrusión de masas de aire provenientes del norte y noreste, así como a una ligera reducción en la relación de mezcla del ozono.

En la estratósfera baja, el flujo de viento provino principalmente del primer y cuarto cuadrante (direcciones noreste, este y sureste), manteniendo un comportamiento similar al del mes anterior, con variaciones esporádicas del norte, sur y oeste; no obstante, en el nivel de 50 hPa predominó una tendencia hacia el este. Por su parte, en la estratósfera media los vientos soplaron firmemente desde el este (primer y cuarto cuadrante), registrándose únicamente vientos aislados del norte. Esta misma configuración se repitió en la estratósfera alta, donde los flujos provinieron casi en su totalidad del este. Como consecuencia de esta dinámica atmosférica, la estratósfera baja generó escasos aportes de ozono, mostrando una tendencia a la disminución hacia nuestras latitudes.

En el caso de la alta tropósfera, los sistemas atmosféricos han registrado un ligero traslado hacia el hemisferio norte producto de la estacionalidad, así como todavía a condiciones de la estación de verano. Por otro lado, el ligero desplazamiento del Anticiclón del Pacífico Sur hacia el este y su progresivo incremento en intensidad, permiten el registro de días con buen tiempo, así como el paulatino traslado de humedad hacia nuestro país, ocasionando una incidencia en el comportamiento del ozono atmosférico, por lo menos en la baja estratósfera. Se debe señalar que las tormentas tropicales generan ozono atmosférico y en esta temporada fueron moderados. El periodo cálido permitirá a nivel general, que se registren ligeras disminuciones de los niveles de ozono en esta parte de la región, aunados a una cierta disminución en las concentraciones de la humedad atmosférica, entre la alta tropósfera y baja estratósfera, procesos que empezarán a sentirse cuando

se establezca la estación de otoño. El desarrollo de un evento denominado El Niño Costero implicaría algunos cambios en su distribución espacial y temporal. La convección húmeda mínima ha continuado registrándose, como hace varios meses, en la región norte del país (específicamente en los departamentos de Tumbes y Piura), pero ahora también a lo largo de la costa peruana por efecto de la invasión de masas de agua cálidas provenientes del hemisferio norte, así como también de la influencia de la Onda Kelvin, el cual permite el incremento de la temperatura superficial del mar, afectando mucho más a la región oriental del Pacífico Sur. Se debe tener presente que estos procesos, así como la disminución de la humedad atmosférica en la baja y media estratósfera (100 hPa hasta 10 hPa) llegan a tener repercusión en las propiedades físicas (radiativas) y químicas de dicha capa, permitiendo obtener valores de ozono atmosférico algo menores al mes pasado, con tendencia a continuar disminuyendo en el siguiente mes, por cuestiones netamente climáticas, aunados también a la circulación de los vientos del este y otras en dichas capas.

Un parámetro que conviene resaltar y que influye en el comportamiento del ozono es la denominada Oscilación Quasi Bienal (QBO siglas en inglés) el cual domina la variabilidad de la estratósfera ecuatorial (16 - 50 km) y fácilmente puede verse como regímenes de vientos del este y del oeste que se propagan hacia abajo (niveles inferiores de la atmósfera), con un periodo variable que puede estar entre los 28 meses. Su estudio es inseparable de los movimientos de las ondas atmosféricas que lo impulsan y modulan. Los efectos de la QBO no se limitan a la dinámica atmosférica. Los componentes químicos como el ozono, vapor de agua, óxido nitroso, ácido clorhídrico y el metano, se ven afectados por los cambios de circulación inducidos por la QBO (mezcla de ozono estratosférico por la circulación secundaria).

De acuerdo a lo mencionado, es importante tener en cuenta que esos regímenes de circulación, así como los procesos que involucran la temporada cálida austral, interactúan entre sí en las diferentes capas de la atmósfera, permitiendo un incremento en el transporte de calor o energía. En ese sentido, se analiza la capa de 70 hPa (día 19 de abril) dado de que es representativa de la baja estratósfera. A lo largo del mes, climáticamente sobre nuestras latitudes, las concentraciones de ozono han empezado a disminuir, pero en forma paulatina, debido mayormente a la presencia de vientos zonales negativos, así como esporádicos ingresos de vientos cuasi meridionales, los cuales aportan moderadas concentraciones de ozono atmosférico sobre nuestras latitudes. Durante, el mes de abril, los vientos han sido mayormente del primer y cuarto cuadrante (en ocasiones del segundo cuadrante), ósea han provenido del noreste, este, sureste y norte en la estratósfera baja, para luego ser netamente del este, en la estratósfera media (similar a lo acontecido el



mes anterior), con temperaturas (estratósfera baja) ligeramente menores (en valor numérico) al mes anterior, pero con condiciones más cálidas, propios de la estacionalidad. Cabe mencionar que también se registraron vientos bastante esporádicos del sur y oeste, los cuales aportaron cantidades bajas de ozono atmosférico. En este mes se ha continuado registrando dos núcleos anticiclónicos menos intenso al mes anterior, uno en el Pacífico y otro entre el continente sudamericano y el Atlántico, los cuales, en cierta manera, han permitido la invasión de masas de aire con concentraciones moderadas de ozono (parecido al mes anterior).

En latitudes medias del hemisferio sur, la circulación de vientos ha continuado siendo zonal positivo (70 hPa), pero de moderada intensidad, aportando concentraciones de ozono moderadas, mientras que, en latitudes altas, se han registrado procesos físicos que han incentivado hacia una disminución de ozono atmosférico.

En cuanto al régimen térmico (latitudes 25°N - 25°S), se puede señalar lo siguiente: en la estratósfera baja se ha observado comportamientos con tendencia a presentar valores aún por debajo de sus valores normales como en el caso de la capa de 100 hPa, mientras que, en la capa de 70 hPa, se han comportado relativamente cercano a sus valores climáticos con una tendencia al incremento, pero aún por debajo de ellos. Los causales son la circulación de la atmósfera en esos niveles los cuales aportan bajas concentraciones de ozono atmosférico hacia la región tropical permitiendo que dicho gas, atrape menos radiación ultravioleta trayendo como consecuencia una ligera disminución de la temperatura. Se podría indicar que existe una menor relación de mezcla. Los niveles de 30 hPa y 10 hPa (estratósfera media) registraron una tendencia a un calentamiento, especialmente en el de 30 hPa (al igual que el mes pasado), pero siempre por debajo de sus valores climáticos. Para el caso de los niveles de 5 hPa, 2 hPa y 1 hPa, el comportamiento estuvo bastante marcado, pero también por debajo de sus valores climáticos, con tendencia a un mayor enfriamiento. Debido a este comportamiento de la estratósfera, las concentraciones de ozono lograron registrar valores algo menores a nivel promedio mensual, con respecto al mes anterior, en la región tropical, el cual estaría relacionado por la ocurrencia de una menor mezcla de ozono atmosférico, así como una ligera disminución de la humedad. El comportamiento térmico en la baja estratósfera estaría relacionado por la presencia de vientos mayormente del primer y cuarto cuadrante, pero más diversificado (proveniente de más direcciones). En la estratósfera media todos los flujos de viento fueron del este con temperaturas aún por debajo de sus valores climáticos. En el caso de Perú, de acuerdo a la información de superficie, las concentraciones de ozono en este mes han registrado, valores ligeramente inferiores al mes pasado (a nivel promedio mensual), con una



tendencia más bien a continuar disminuyendo (comportamiento climático). Cabe enfatizar que tanto los valores mínimos y máximos diarios de ozono sobre nuestro país, en este mes, fueron ligeramente inferiores, el cual guarda relación con su comportamiento estacional. La amplitud entre dichos valores en marzo, han oscilado entre 10 UD a 11 UD. Figura 3.

Con el fin de sustentar lo descrito a nivel de baja estratósfera, podemos mencionar que, de la vigilancia realizada en el mes de abril a nivel de superficie, en el Observatorio de Vigilancia Atmosférica (OVA) Marcapomacocha muestra que el comportamiento horario de la concentración de ozono atmosférico en general, estuvo oscilando entre 236.3 UD y 248.0 UD (UD = Unidades Dobson). Como se señaló previamente, el nivel promedio mensual fue inferior.

Se debe mencionar que en las primeras horas del día las concentraciones de ozono son relativamente altas debido al ozono acumulado en horas de la noche (en abril, climáticamente, se registran valores de ozono inferiores a marzo) y a medida que transcurren las horas hasta llegar al mediodía los valores empiezan a disminuir para luego en horas de la tarde volver a incrementarse. A veces el comportamiento es algo variable tanto en la mañana como en la tarde, pero siempre con la misma tendencia (disminuye y luego aumenta durante el día).

Este proceso físico, se enmarca en que durante las primeras horas de la mañana la incidencia de la radiación ultravioleta, tiende a mantener valores algo menores, por ende las concentraciones de ozono serán relativamente moderadas (debido al ozono residual), a medida que la intensidad de la radiación ultravioleta se incrementa en forma paulatina hacia el mediodía, donde los valores son Muy Altos a Extremadamente altos en el mes de abril (en los meses de verano y parte del otoño son mayores), pero permite una cierta disminución del ozono (actividad fotoquímica menor al mes de marzo) y en horas de la tarde a medida que el sol va llegando al ocaso (disminución de la intensidad de la radiación solar) las concentraciones de ozono vuelven a incrementarse. Este comportamiento horario también va a depender de otros factores como los ambientales (reacciones químicas durante el día, de compuestos o gases generadores de ozono troposférico) y meteorológicos (transporte de ozono de y hacia otras latitudes). Un punto importante a remarcar es el proceso de formación y destrucción del ozono por efectos fotoquímicos, mientras que la intensidad de la radiación solar se incrementa, dicha actividad será mayor y viceversa. En el periodo analizado, la intensidad de la radiación ultravioleta ha registrado valores algo inferiores al mes pasado, tanto a nivel promedio mensual como de los máximos debido al establecimiento de la estación de otoño, con condiciones de cielo entre cubierto a nublado, mayormente en la región andina central y sur. La cantidad

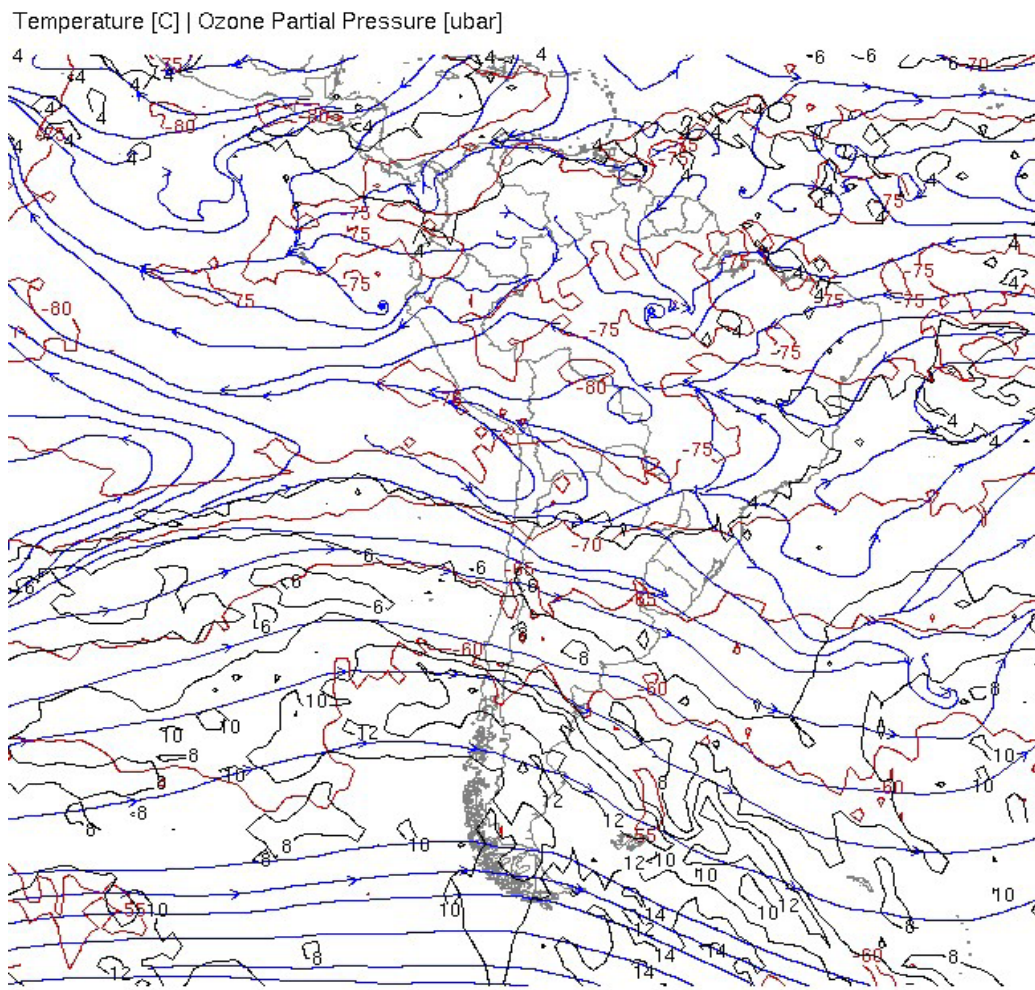


de aerosoles ha mostrado una tendencia a mantener concentraciones menores al mes anterior, debido todavía a una presencia de cobertura nubosa por efecto de vientos provenientes del este en niveles altos de la tropósfera y baja estratósfera, aunque en algunas regiones se ha mantenido con cielo nublado a despejado con baja cantidad de aerosoles (región costera) Se espera que en el mes siguiente dichos valores de radiación, lleguen a disminuir o mantenerse debido al mayor establecimiento del otoño.

En esta temporada, parte de la humedad de la tropósfera también se distribuye en la baja estratósfera permitiendo una similar formación de ozono atmosférico, especialmente a nivel de 100 hPa y 70 hPa.

FIGURA N° 2
Flujos de masas de aire variables con núcleos anticiclónicos en en latitudes medias del hemisferio sur

Fuente: Weather Service de la University of Wyoming



University of Wyoming

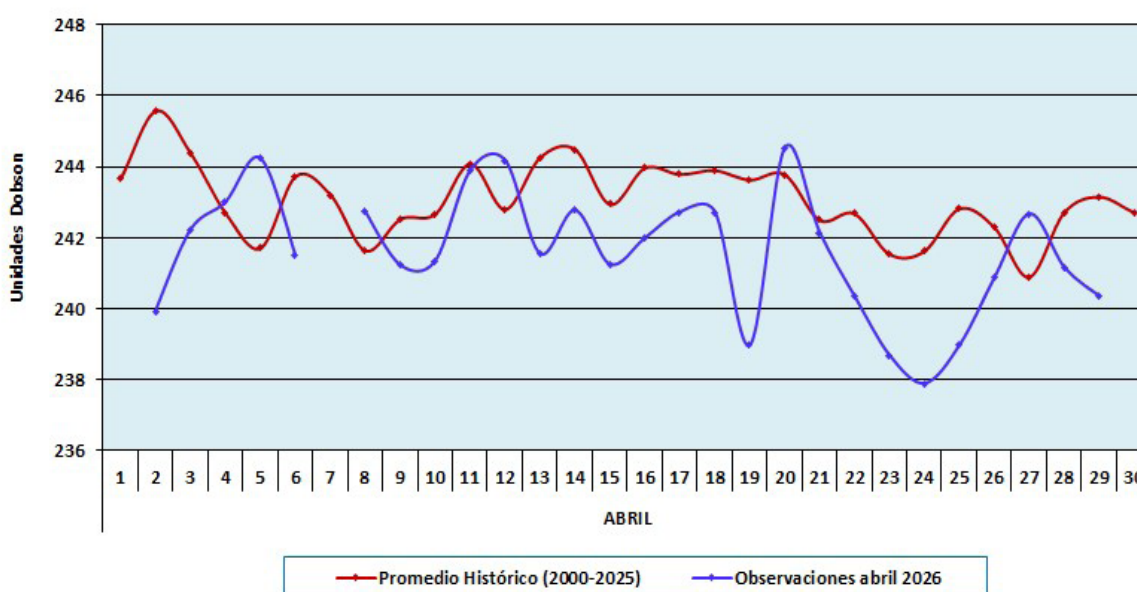
0 Hour 70 hPa Forecast Valid 18Z Sun 19 Apr 2026

El comportamiento de la concentración de ozono atmosférico promedio diario mensual multianual (2000-2025) del mes de abril oscila entre 241.0 UD y 246.1 UD aproximadamente (Figura 3), mientras que los medidos en el mes de abril del presente año, oscilaron entre 237.9 UD y 244.5 UD.

En la figura, se aprecia que los valores registrados en el presente mes, estuvieron un 78% por debajo de sus valores climáticos, mientras que un 22% por encima (se observa un desfase de hasta 6 UD entre el valor histórico y el registrado durante este mes).

Cuando se comparan ambas series se observa, un comportamiento variable, con valores que en algunos momentos se acercan a sus normales y en otras más bien se alejaron debido a los flujos de vientos en la baja y media estratósfera, así como a los cambios en el régimen térmico y de humedad en dichas capas. Climáticamente las concentraciones de ozono empiezan a disminuir a partir de este mes, y así sucedió ya que el valor promedio mensual fue inferior al anterior como producto de la circulación de vientos mayormente zonales, los cuales aportaron bajas concentraciones hacia nuestras latitudes, principalmente hacia nuestro país. Cabe mencionar que aún persiste el impacto de la cantidad de vapor de agua emitida a la atmósfera por el volcán Hunga Tonga en el Pacífico Sur, en enero de 2022, el cual se piensa, va originando también efecto en latitudes bajas muy aparte de las medias y altas del hemisferio sur.

FIGURA N° 3
Comportamiento temporal de la concentración de ozono atmosférico en el OVA Marcapomacocha. Abril 2026.



Es importante conocer también la variación temporal multianual de la concentración de ozono (climático) y poder relacionarlos con los procesos que generan los diferentes sistemas atmosféricos que gobiernan sobre nuestro país. En el OVA Marcapomacocha se presentan dos picos, uno en el mes de marzo con un valor de 244.5 UD y el otro, mucho mayor, en el mes de setiembre con un valor de 251.3 UD. Los valores bajos de ozono se registran climáticamente en los meses de enero con valores de 242.2 UD y otro entre los meses de mayo y junio con valores de 240.9 UD y 240.8 UD respectivamente. El promedio mensual de ozono en el presente mes fue de 241.6 UD inferior en 1.7 UD al promedio mensual multianual (243.1 UD).

En la región tropical durante los meses de la estación de verano, vale decir desde el 21 de diciembre hasta el 21 de marzo, las concentraciones de ozono tienden al descenso (climáticamente), en un primer momento, hasta el mes de enero, debido a factores astronómicos, así como a procesos de la circulación a nivel de estratósfera baja y media (vientos del este, sureste y noreste mayormente, así como una moderada a baja relación de mezcla) y una alta actividad fotoquímica. Mientras que desde febrero hasta marzo se registra un ligero incremento para después disminuir en los siguientes meses. Por otro lado, la circulación de los vientos, a nivel vertical, desde la tropósfera hacia la estratósfera permite el traslado de cantidades de ozono los cuales a lo largo de los meses lo van redistribuyendo hacia latitudes mayores (Circulación Brewer-Dobson), permitiendo un déficit de ozono atmosférico (los más bajos del año) en latitudes bajas (mes de enero, así como en los meses de mayo-junio). Esta circulación está conducida por ondas atmosféricas la cual puede ser acelerada por el cambio climático repercutiendo en la distribución global de las concentraciones de ozono. En el mes de abril, se ha registrado cantidad menor de masas de aire provenientes del primer y cuarto cuadrante al nivel de 70 hPa, o sea vientos del sureste, este y noreste mayormente. Se registraron vientos de otras direcciones (pero con una persistencia bastante baja), trasladando entre moderadas a bajas concentraciones de ozono atmosférico (especialmente a nivel de 100 hPa), lo que, en resumidas cuentas, hicieron que se registre valores ligeramente menores al mes anterior, sobre nuestras latitudes, con una tendencia a continuar disminuyendo en el mes de mayo.

Los procesos de advección húmeda se han incrementado en abril, especialmente a lo largo de la franja costera del Perú, donde se han registrado invasiones de masas de agua cálidas provenientes del Pacífico norte, de moderada a alta intensidad durante parte del mes, debido a la influencia de traslado de las Ondas Kelvin hacia nuestras latitudes especialmente en el lado oriental del Pacífico Sur. Probablemente se haya registrado algún proceso de advección húmeda tropósfera-estratósfera (regionalmente continúan registrando condiciones cálidas), así como de una moderada a baja relación



de mezcla de ozono atmosférico, el cual haya sido un factor adicional para que las concentraciones de ozono hayan iniciado el proceso de disminución con respecto al mes anterior. A esto se le añade el flujo de vientos provenientes del este, sureste y noreste (a nivel de 70 hPa y otras capas superiores), los cuales han aportado concentraciones de ozono hacia nuestras latitudes, algo menores al mes de marzo. Un factor que interactúa con estos procesos es la humedad atmosférica, el cual ha continuado registrando una ligera disminución con respecto al mes pasado entre la estratósfera baja y media. En las demás capas de la estratósfera media y alta han sido más bajas (atmósfera totalmente seca).

El pronóstico, de acuerdo a la climatología, es que las concentraciones de ozono continúen disminuyendo durante el mes de mayo, debido a un mayor incremento de flujos del este con transporte bajo de ozono, así como a una baja relación de mezcla.

Perfil Vertical de Ozono Atmosférico

Por lo general, el 10% de la concentración de ozono se encuentra en la tropósfera y el otro 90% en la estratósfera. En ese sentido, cobra vital importancia monitorear el comportamiento vertical de este gas en diferentes niveles de la atmósfera para conocer su variabilidad en el tiempo y poder relacionarlos con posibles cambios en los sistemas atmosféricos característicos de la región (cambios en la transferencia radiativa o circulación de los vientos). En los últimos 40 años el uso de las sustancias agotadoras de ozono empezó a disminuir para dar paso al uso de sustancias sustitutas, las cuales al fin y al cabo destruyen el ozono atmosférico, pero en menor cantidad. Actualmente es notoria, la emisión de gases de efecto invernadero los cuales tienen efecto en el comportamiento del ozono principalmente en la baja estratósfera debido a los efectos de la dinámica atmosférica, así como de las reacciones fotoquímicas. Se suma a ello las implicancias que pudiera tener, en las concentraciones de ozono, la erupción del volcán Hunga Tonga, anteriormente explicado.

Según la OMM (Organización Meteorológica Mundial), desde el año 2000 hasta el 2020 se han observado por medio de mediciones del perfil vertical de la atmósfera y el desarrollo de modelos numéricos, una disminución en las concentraciones de ozono (~2% por década) en la estratósfera baja de la región tropical (20°S - 20°N), asimismo en la estratósfera media algo parecido para finalmente en la estratósfera superior un aumento de 2% por década.

Teniendo en cuenta lo descrito y de acuerdo a la figura 4, obtenido de la



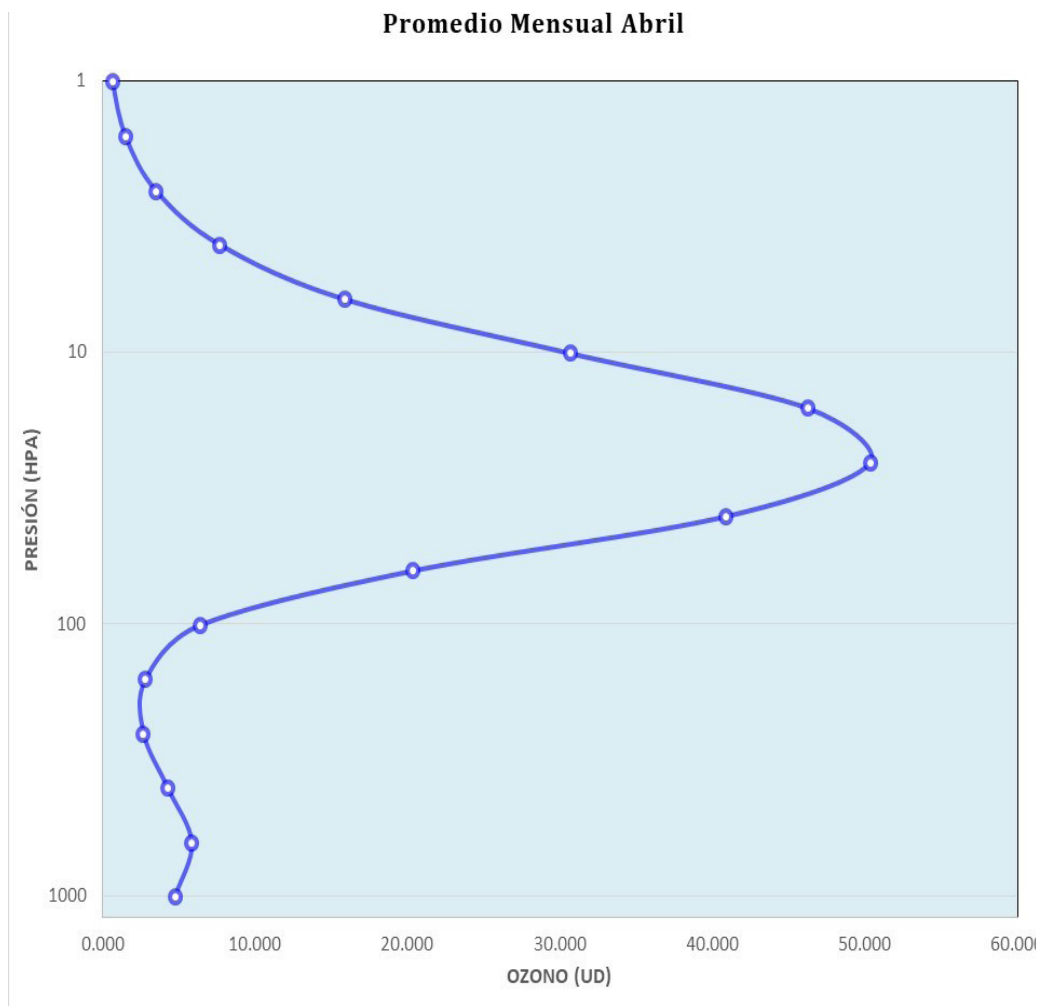
National Aeronautics and Space Administration - NASA, plataforma OMPS, se ha podido observar el comportamiento típico del perfil vertical de ozono para el mes de abril en el OVA Marcapomacocha.

A nivel de tropósfera generalmente, las concentraciones de ozono disminuyen con la altura, para luego a nivel de estratósfera sufrir un incremento ostensible debido al incremento de la temperatura. En la estratósfera alta empiezan a disminuir en forma paulatina. El gráfico presentado es para remarcar que las mayores concentraciones de ozono se registran en esta segunda capa de la atmósfera. Se observa que las concentraciones de ozono son ligeramente superiores a lo observado en el mes pasado, de acuerdo al perfil mostrado. Las concentraciones mayores la encontramos en la media estratósfera con valores entre 44 UD a 48 UD.

FIGURA N° 4

Perfil vertical de ozono atmosférico del OVA Marcapomacocha

Fuente: National Aeronautics and Space Administration - NASA



Según información de perfil vertical de ozono atmosférico para un día típico del mes de abril (día 19) 2026 obtenida por Metop-C/GOME-2, muestra para el hemisferio norte concentraciones similares al mes pasado, cuyos valores han oscilado entre 32 UD y 40 UD, entre la alta tropósfera y media estratósfera (el área de cobertura latitudinal de estas concentraciones altas se dio entre 65N°-90°N). Desde el 21 de marzo, dicho hemisferio, se encuentra en la estación de primavera, registrándose concentraciones de ozono consideradas altas en latitudes altas, con tendencia a empezar a mantenerse por efecto del cambio de estación. Asimismo, el régimen de temperaturas en la estratósfera baja y media de la región tropical, ha registrado valores menores, pero más cálidos, comportándose aún por debajo de sus valores normales durante el mes.

Se debe tener presente que, en la región tropical, se forma la mayor cantidad de ozono siendo incluso mayores a los formados en latitudes medias y altas de ambos hemisferios, pero debido a factores de circulación regional como el de Brewer-Dobson, la Oscilación Quasi Bienal, así como de procesos de reacciones fotoquímicas y térmicas, en la estratósfera media son redistribuidas hacia latitudes medias y altas de ambos hemisferios, permitiendo una disminución de la misma. El problema se ahonda cuando se registra mayor contenido de humedad, especialmente cuando se inicia la temporada de lluvias entre los meses de setiembre y marzo.

Cabe mencionar que la altura de las concentraciones de ozono (13 UD a 23 UD) en latitudes bajas del hemisferio norte fue de 65 hPa y 8 hPa, mientras que en latitudes bajas del hemisferio sur (14 UD a 24 UD) la altura fue de 50 hPa y 8 hPa. En latitudes medias del hemisferio sur más bien se registraron concentraciones un poco mayores, con valores entre 20 UD y 24 UD, pero a una altura entre 80 hPa y 10hPa. La amplitud de las alturas tanto en latitudes bajas y medias del hemisferio sur han sido algo similares al mes pasado.

En esta temporada, las concentraciones de ozono, por lo menos en esta parte de la región tropical, han registrado valores inferiores con tendencia más bien a continuar disminuyendo, por factores de circulación de vientos zonales negativos, así como de vientos zonales mayormente, aunados a los posibles efectos de las concentraciones de vapor de agua emitidas por el volcán submarino Hunga Tonga en enero de 2022.

Para el caso de nuestro país, concentraciones de ozono relativamente bajas se han registrado entre los 55 hPa y 10 hPa con valores entre 17 UD y 25 UD, especialmente en la región norte del país, mientras que, en la sierra central y sur, las concentraciones oscilaron entre 13 UD y 23 UD a una altura de 50 hPa y 10 hPa.

En los primeros niveles de la atmósfera (tropósfera) las concentraciones de

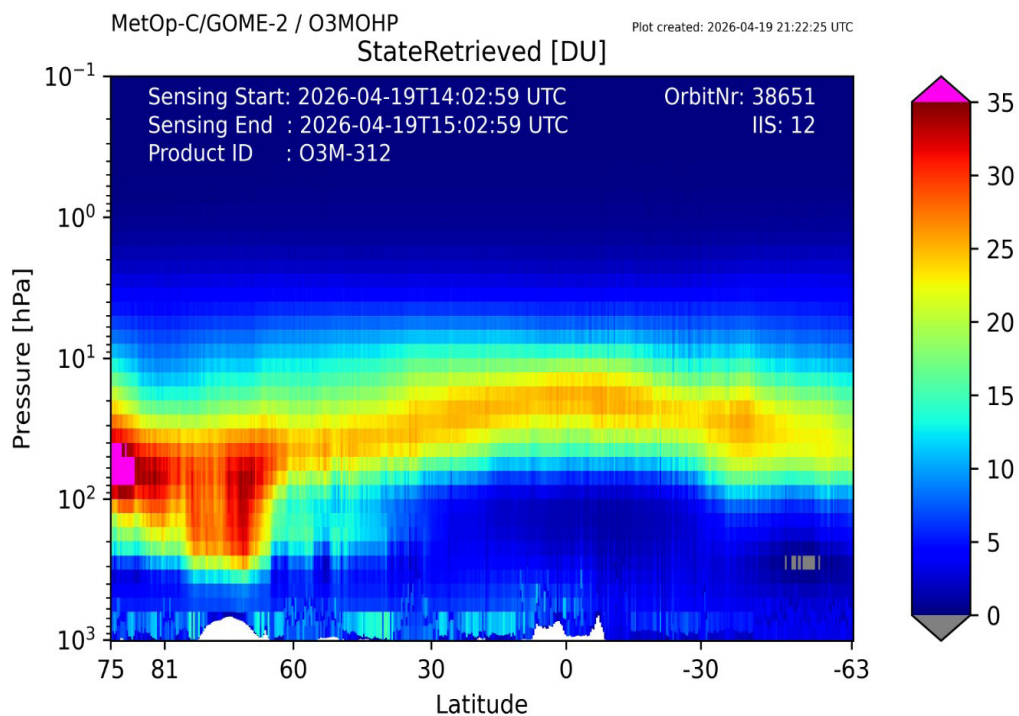


ozono son bajas (oscilan, generalmente, entre 1 UD y 10 UD), esto se debe a los efectos residuales de la formación del ozono del día anterior, así como también a otros procesos físico-químicos. En la estación del otoño austral, estos procesos son menos intensos debido al descenso de la actividad solar, por lo que las concentraciones de ozono disminuyen.

Debe considerarse que la forma que adquiere la distribución vertical es típica en la atmósfera, sabiendo que las concentraciones pueden variar de acuerdo a la latitud, estación astronómica, condiciones meteorológicas, así como al efecto que tienen los gases de efecto invernadero, especialmente en la estratósfera baja aunados últimamente con la disminución del vapor de agua, debido a la consideración descrita en párrafos anteriores. Figura 5.

A la fecha se ha registrado en la región tropical, una circulación de viento mayormente del primer y cuarto cuadrante, así como del norte, esporádicamente del oeste y sur, permitiendo un aporte moderado a bajo, de concentraciones de ozono sobre nuestras latitudes, trayendo como consecuencia, que sean menores al mes anterior. El hemisferio norte se encuentra a partir del 21 de marzo en un periodo más cálido, lo cual traerá como consecuencia el registro de temperaturas más altas y por lo tanto también el incremento de las concentraciones de ozono atmosférico debido mayormente a flujos de viento del norte y noreste, así como por los procesos físicos como químicos que se dan en la estratósfera.

FIGURA N° 5
Perfil Vertical de Ozono según GOME-2
Fuente: Metop-C/GOME-2



VAPOR DE AGUA A 46 hPa

La estratósfera es una capa relativamente seca comparada con la tropósfera, solo se ha podido registrar que, en la capa baja de la misma, hay poca humedad.

En función a lo mencionado, se debe tener conocimiento, que durante los días 13 y 15 de enero de 2022, se registró una erupción volcánica en el mar del Pacífico Sur, emitiendo grandes cantidades de aerosoles a la atmósfera. Tanta fue la potencia de la erupción que llegó hasta alturas que sobrepasaron la estratopausa, inyectando partículas y gases como el SO₂ (dióxido de azufre), HCl (cloruro de hidrógeno o ácido clorhídrico) y vapor de agua. Es bastante probable que los efectos, en las concentraciones de ozono, se vean con el transcurrir de años, aunque ya hay indicios en el adelanto o retraso de la aparición del vórtice polar (hemisferio sur), así como variaciones en las concentraciones de ozono en la región tropical.

Tanto el vapor de agua como los aerosoles permiten la reflexión de la radiación solar directa al espacio, si estos existieran en cantidades considerables permitiría un enfriamiento en la superficie de la tierra.

El vapor de agua genera calentamiento en la tropósfera y enfriamiento en la estratósfera y esto permitiría un cambio en las concentraciones de ozono y por ende su impacto en el balance de transferencia radiativa.

A nivel global se viene registrando un periodo bastante cálido, como consecuencia de la emisión de los gases de efecto invernadero, que permiten retener el calor almacenado en la atmósfera y por ende concentraciones moderadas a altas de humedad relativa, los cuales tienen repercusión en las concentraciones de ozono. En el caso de nuestro país las condiciones atmosféricas se encuentran en una etapa cálida debido a factores meteorológicos, astronómicos, así como los oceanográficos (anomalías mayormente positivas de la temperatura de agua de mar, en gran parte del litoral) los cuales interactúan entre sí y llegan a condicionar el régimen térmico a nivel de alta tropósfera como de baja estratósfera.

En la figura 6 se observa un mapa con concentraciones de vapor de agua a nivel de 46 hPa (límite entre la estratósfera baja y media) para un día típico del mes (15 abril 2026), obtenida de la Earth Data de la National Aeronautics Space Administration - NASA. En ella se observa sobre Perú, concentraciones de vapor de agua relativamente moderadas con respecto al mes pasado, en gran parte de la región andina, con una tendencia a que estos continúen disminuyendo en el siguiente mes por cuestiones netamente climáticas o

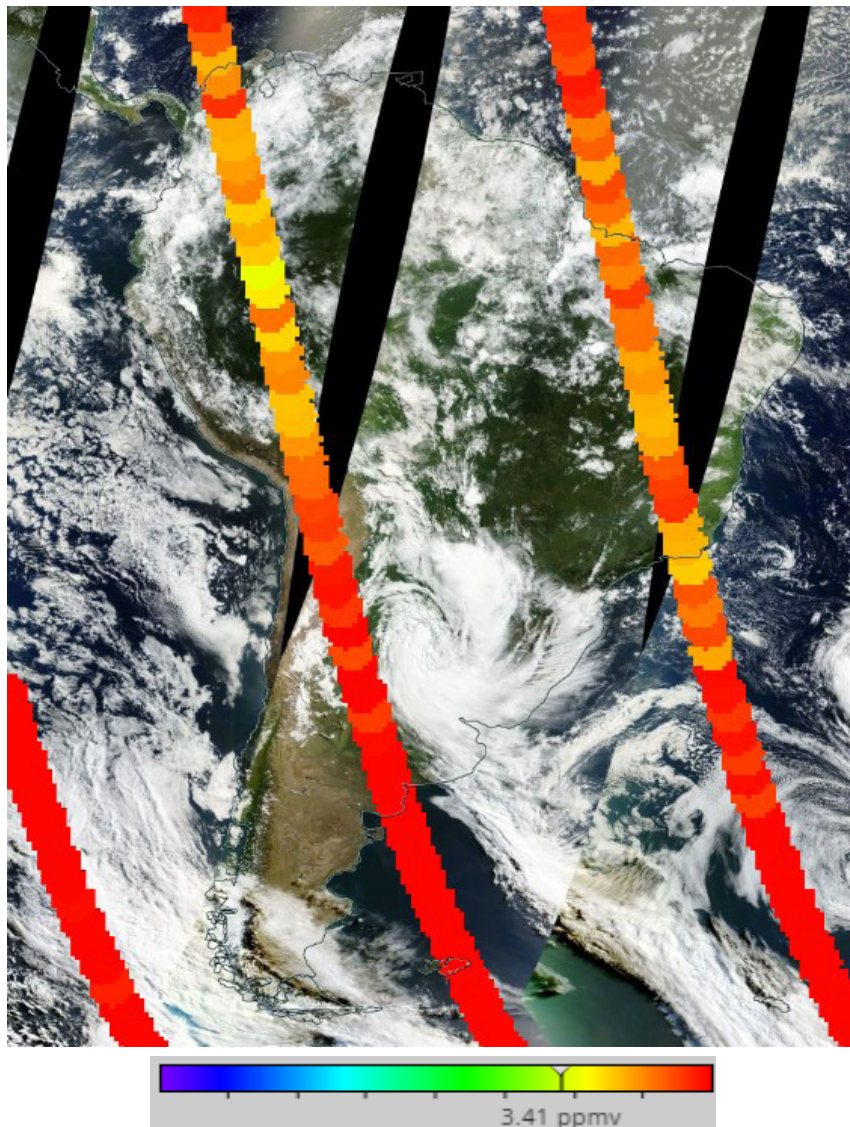


de circulación de la atmósfera. Por ejemplo, en la región norte del país, las concentraciones de vapor de agua oscilaron entre 4.00 ppmv a 4.09 ppmv, mientras que, en la central, valores entre 4.09 ppmv a 4.15 ppmv, mayor al mes pasado. En la región sur del país, concentraciones entre 4.00 ppmv y 4.10 ppmv (menor al mes de marzo). La influencia de la temporalidad o mejor dicho, del establecimiento de la estación de otoño, ha influido en las concentraciones de vapor de agua que se puedan registrar en dicha capa, aunados a los vientos del norte, noreste, este, sureste en la capa de 100 hPa, aunque con vientos esporádicos del norte, oeste y sur, permitiendo que las concentraciones de ozono atmosférico en esta región hayan sido ligeramente menores al mes anterior. Indudablemente, la relación de mezcla ha registrado una disminución en esta temporada.

FIGURA N° 6

Vapor de Agua a 46 hPa

Fuente: Earth Data de la National Aeronautics Space Administration – NASA



Cabe señalar que la humedad relativa es la cantidad de humedad que hay en un lugar con relación a la que habría si el aire estuviera completamente saturado de humedad, expresándose en porcentaje.

Utilizando información propia de altura, se puede mencionar que la humedad relativa al nivel de 100 hPa en la región central del Perú (departamento de Junín), en el mes de abril fue de 29%, mientras que a nivel de 70 hPa fue de 10%, por otro lado, a 50 hPa fue de 2%. Finalmente, en la parte media de la estratósfera, vale decir, 30 hPa, la humedad relativa fue de 1% y a nivel de 15 hPa, también 1% (inferior solo en la baja estratósfera con respecto al mes anterior). Desde el 21 de marzo, el hemisferio austral se encuentra en la estación de otoño, por lo que sistemas sinópticos paulatinamente sufren ligeros desplazamientos hacia el hemisferio norte para dar paso luego a condiciones más secas, así como a la disminución de procesos de convección en la tropósfera media y alta (traslado de humedad hacia la estratósfera baja) del hemisferio sur, lo cual tiene injerencia con las concentraciones de ozono que se registran en esta parte del país especialmente en la baja estratósfera.

COMPORTAMIENTO TEMPORAL DE LA CONCENTRACIÓN DE OZONO SOBRE EL PERÚ

En cuanto al análisis de los mapas en forma diaria, del mes de marzo, provenientes de la plataforma OMPS del satélite SUOMI de la National Aeronautics and Space Administration - NASA (Fig. 7), podemos mencionar que, para el caso de nuestro país, las concentraciones de ozono atmosférico, que muestra el mapa, han mostrado una ligera disminución, especialmente en la región central y sur del país, con concentraciones que han oscilado entre 225 UD y 250 UD. En la región norte las concentraciones fueron un poco mayores a los anteriores con valores entre 250 UD y 275 UD. Esta disminución de las concentraciones de ozono, en el centro y sur, fue debido a que los flujos de viento fueron del noreste, este y sureste, en la estratósfera baja, los cuales aportaron entre moderadas a bajas concentraciones de este gas. Tal como se explicó, se registraron concentraciones de humedad algo menores al mes pasado (estratósfera baja) debido a los flujos de viento, así como también a una ligera disminución de la relación de mezcla, lo cual permitió el referido descenso de ozono atmosférico en esas capas, aunados a una ligera disminución en la concentración de humedad en la baja estratósfera (mayormente). Cabe mencionar que nuestro país ha ingresado a la época de estiaje y por lo tanto los sistemas atmosféricos en la alta tropósfera que son característicos de la estación de otoño, han tenido injerencia importante, permitiendo la ocurrencia de condiciones



de viento con moderados a bajos aportes de ozono atmosférico, así como por la influencia de otros factores ya mencionados. Por el lado del Pacífico se registraron concentraciones de ozono relativamente altas.

Las concentraciones de ozono atmosférico, empezaron a registrar un descenso, especialmente en la región central y sur de nuestro país, debido a que los flujos de viento del este fueron característicos en esta temporada, así como también por la disminución de la actividad fotoquímica propios de la estacionalidad.

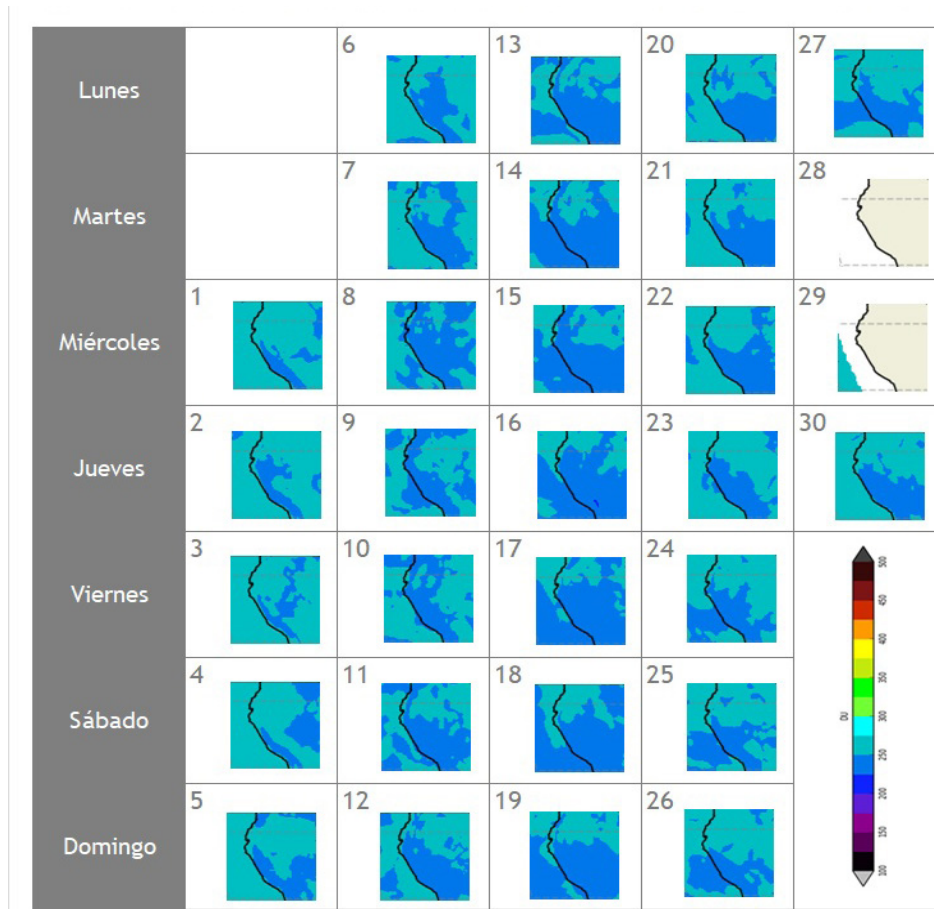
Cabe remarcar que las mayores concentraciones de ozono atmosférico se encuentran en la estratósfera baja y media, por lo que es importante que haya una buena relación de mezcla, así como un incremento de la temperatura en esos niveles. En el mes de abril se registró una mezcla moderada a baja, permitiendo que el ozono haya registrado una disminución en el centro y sur del país, mientras que en el norte se mantuvo similar al mes pasado, ocasionadas por factores mencionados en el párrafo anterior, así como por la presencia de mayores núcleos anticiclónicos en latitudes bajas del hemisferio sur abarcando el Pacífico, América del Sur y parte del Atlántico (algo similar en intensidad al mes anterior), los cuales permitieron el ingreso de vientos del este, noreste y sureste mayormente (estratósfera baja) con una mayor persistencia. Hay que considerar también que estos vientos aportan escasas concentraciones de ozono para nuestras latitudes, especialmente en el centro y sur de nuestro país. Se debe mencionar que, en este mes climáticamente, las concentraciones de ozono empezaron a disminuir, comparados al mes de marzo por lo que de acuerdo a los motivos expuestos en los párrafos anteriores se registró un ligero calentamiento, especialmente a nivel de estratósfera baja (70 hPa y 50 hPa).



FIGURA N° 7

Mapa diario del ozono total atmosférico para el mes de abril 2026

Fuente: Satélite AURA



FLUJO DE VIENTOS EN LA BAJA Y MEDIA ESTRATOSFERA

Una de las herramientas que ayuda a entender la mayor o menor concentración de ozono atmosférico sobre nuestras latitudes, específicamente sobre Perú es la información de viento en altura, especialmente el de la baja y media estratósfera. Por este periodo se considerará información proveniente del centro del país. En ese sentido, se analizará la información de viento proveniente de ese lugar con las características que se detallan a continuación. La estación se ubica en el departamento de Junín cuyas coordenadas son latitud: 11.9562°S, longitud: 75.3217°W a una altitud de 3,311.72 msnm. La información brindada nos da bases para tener una idea de la relación de mezcla que pueda existir en las diferentes capas de la estratósfera.



BAJA ESTRATÓSFERA

El flujo vientos en el mes de abril al nivel de 100 hPa fue variable, dado de que han provenido de los cuatro cuadrantes. Hay que remarcar que los vientos provenientes del cuarto cuadrante registraron una frecuencia un poco mayor a las otras direcciones. En ese sentido se debe mencionar que vientos del este y sur este, registraron una frecuencia del 22%. Debido al cambio de estación los flujos de viento han permitido algunos cambios en la dirección aunados posiblemente por el evento cálido a nivel global por efecto de El Fenómeno de El Niño, el cual altera patrones climáticos de circulación de los vientos tanto en la tropósfera como estratósfera. Las intensidades de los vientos oscilaron entre 3 m/s y 11 m/s. En otras direcciones la persistencia fue estuvo bastante distribuida. Cabe recalcar que climáticamente los flujos de viento en este nivel, tal como se mencionó líneas arriba, son algo variables.

A nivel de 70 hPa los flujos de viento fueron mayormente del primer y cuarto cuadrante, ósea vientos provenientes del noreste, sureste y este, así como del norte y sur, pero mucho menores, con velocidades que oscilaron entre 4 m/s y 15 m/s con una persistencia de 76%. En otras direcciones la persistencia fue de 24% con velocidades entre 2 m/s y 9 m/s.

En el nivel de 50 hPa los flujos de viento fueron totalmente del primer y cuarto cuadrante con una persistencia del 100% con velocidades entre 6 m/s y 20 m/s.

MEDIA ESTRATÓSFERA

En el nivel de 30 hPa los flujos predominantes de viento fueron del este con una persistencia del 100%. Cabe mencionar que las velocidades de viento oscilaron entre 15 m/s y 30 m/s. En otras direcciones fue nulo.

Finalmente, en el nivel de 15 hPa los flujos, fueron en algo variables, aunque mayormente del primer y cuarto cuadrante, con velocidades que oscilaron entre 4 m/s y 15 m/s con una persistencia de 47%. En otros cuadrantes fue del 53% pero con velocidades menores.

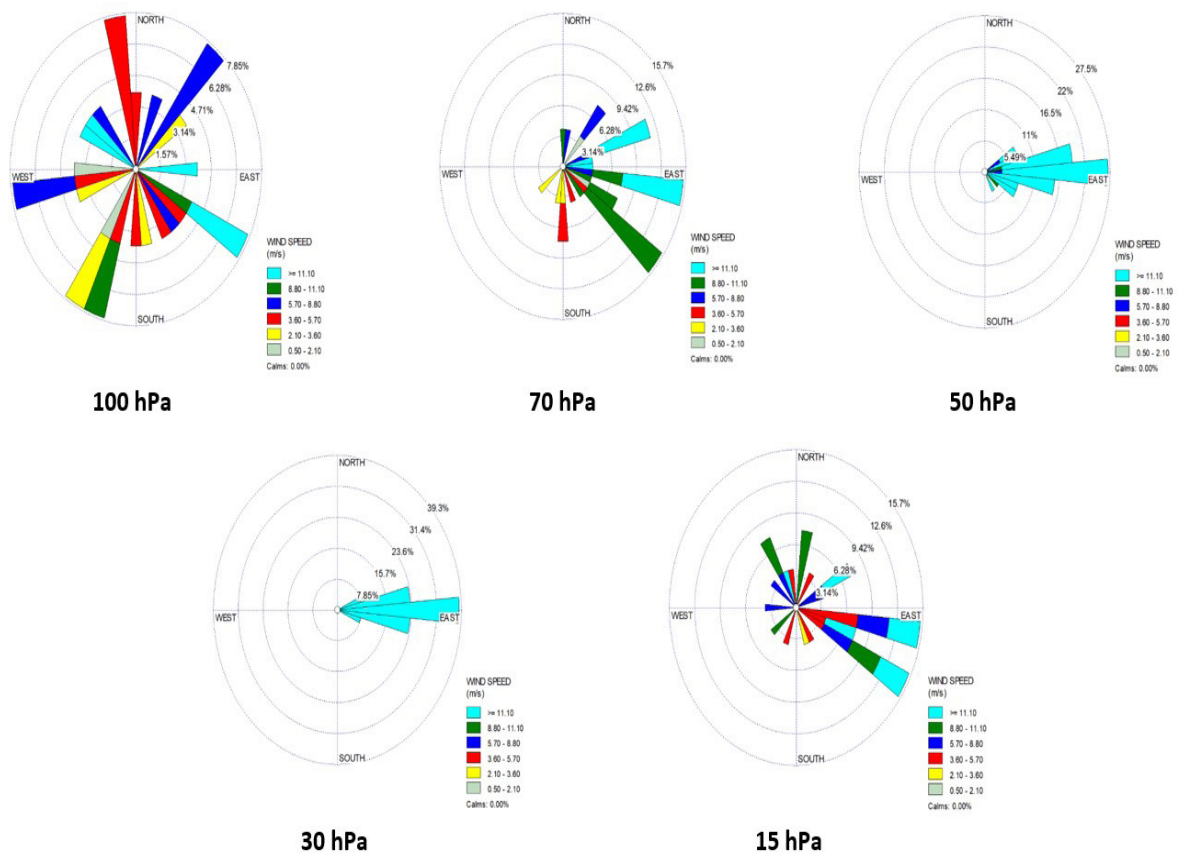
Realizando una síntesis de este análisis, se podrá observar que los vientos provenientes del primer y cuarto cuadrante han sido los más frecuentes en la baja y media estratósfera, aunque en el nivel de 100 hPa y 15 hPa fueron variables debido al cambio en los flujos de viento. Tal como se mencionó, en latitudes bajas del hemisferio sur se registraron sistemas anticiclónicos de baja intensidad, motivo por el cual los vientos sobre nuestro país han sido mayormente zonales negativos, así como cuasi meridionales, pero con menor

frecuencia generando que los valores de ozono sean inferiores al mes anterior. En esta temporada las concentraciones de ozono climáticamente, tienden a disminuir con respecto al mes de marzo, debido a una moderada a baja relación de mezcla de ozono en la alta atmósfera, así como a un incremento de la temperatura en las capas de 100 hPa, 70 hPa, 50 hPa y 30 hPa. Se recalca que los flujos de vientos (intensidad y dirección) son muy importantes en el traslado de altas o bajas concentraciones de ozono sobre nuestras latitudes.

En este mes se registró un contenido de humedad atmosférica algo menor al mes anterior, especialmente en la capa de 100 hPa, mientras que, en las capas superiores fueron algo parecidos al mes anterior. La figura 8 muestra que los vientos son zonales mayormente, ósea vientos del sureste, este y noreste mayormente, los cuales sustentan los menores valores de ozono registrados sobre nuestras latitudes.

El comportamiento de vientos descrito líneas arriba se puede observar en la Figura 8.

FIGURA N° 8
Comportamiento del viento en la baja y media estratósfera para el mes de abril 2026



TEMPERATURA EN LA BAJA Y MEDIA

ESTRATOSFERA

Es importante considerar que lo que pase en la atmósfera baja tiene, a veces, su impacto en la atmósfera alta o viceversa, y para poder entender la variabilidad del ozono atmosférico es importante conocer cómo es el comportamiento temporal de la temperatura en dichos niveles. Por ello se requiere analizar lo que pasa en la atmósfera alta y ver el comportamiento de las temperaturas en la estratósfera baja aproximadamente en los 70 hPa.

El que la temperatura aumente o disminuya en la estratósfera va a depender de las concentraciones de sustancias que agotan el ozono, así como de la estacionalidad y la circulación atmosférica, así como otros fenómenos que ocurren en forma casi periódica (Fenómeno El Niño o La Niña).

La variabilidad de la concentración de ozono en el nivel de 70 hPa, asociado a los cambios en la temperatura es una consecuencia del movimiento de traslación de la tierra con respecto al sol, así como a procesos de transferencia radiativa y reacciones fotoquímicas. Se suma también, el proceso de la circulación Brewer-Dobson, la Oscilación Quasi Bienal, así como a circulaciones de viento regionales a nivel de alta atmósfera. Se agrega el impacto que tuviera la concentración de vapor de agua debido a la erupción del volcán submarino Hunga Tonga en enero del 2022, ya que permite enfriar la atmósfera en ese nivel afectando las concentraciones de ozono atmosférico. Por otro lado, hay que destacar el impacto que tiene la emisión de sustancias agotadoras de ozono (elementos sustitutos) hacia la atmósfera por parte del factor antropogénico. Se debe tener presente que, por lo general, un aumento (físico) de la temperatura en la atmósfera alta, está ligada con un aumento de las concentraciones de ozono y viceversa, los cuales tienen causales, valga la redundancia, físicos y químicos.

Debe recordarse que, durante el año, climáticamente se presentan dos mínimos de ozono, uno en el mes de enero y el otro entre los meses de mayo y junio (tal como se ha descrito en párrafos anteriores). En el presente mes, como ya anteriormente se ha mencionado, el promedio mensual registrado en superficie fue de 241.6 UD.

Considerando la información de temperatura de la baja y media estratósfera del mes de abril, proveniente de la estación de altura de Junín, podemos decir lo siguiente:

La temperatura a nivel de 100 hPa promedio mensual fue de -79.8°C , mientras que a nivel de 70 hPa fue de -75.9°C , valores cercanos con una

diferencia entre ellas, de 4°C. Cabe mencionar que entre las dos capas existen aproximadamente una distancia de 2 km permitiendo que haya una estrecha relación entre el límite de la alta tropósfera y la baja estratósfera en cuanto a intercambio de energía, especialmente en esta parte de la region tropical. Ver Figura 9.

A nivel de 50 hPa, la diferencia es relativamente notoria con una temperatura promedio del mes de -65.6°C (atmósfera más “cálida”, inferior en valor numérico al mes anterior).

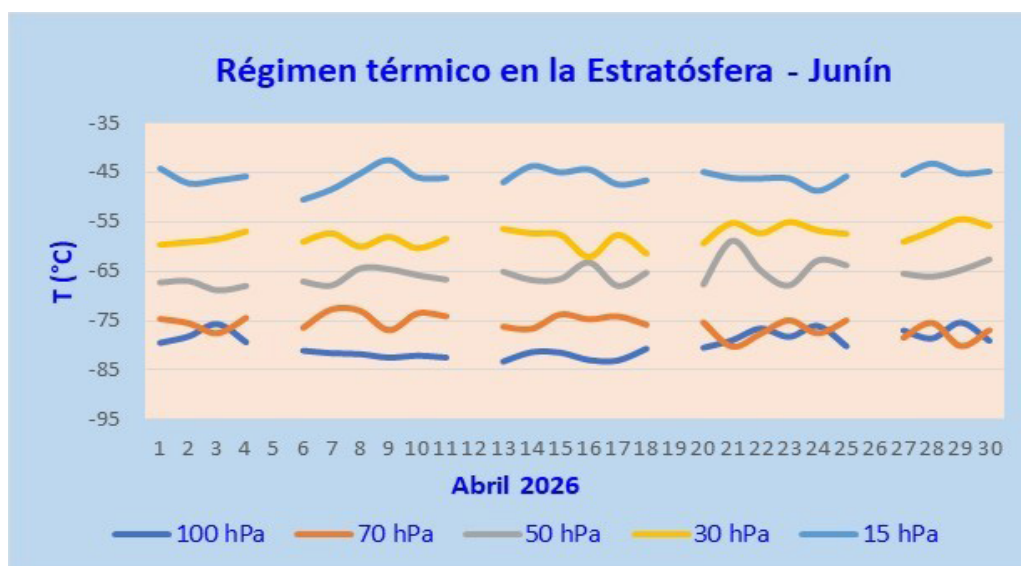
En la media estratósfera, a 30 hPa, la temperatura promedio registrada fue de -57.9°C, para finalmente, a 15 hPa, la temperatura fuera de -45.8°C. (mas cálido al mes anterior) La relación de mezcla de ozono en esta capa ha sido de moderada a baja.

La temperatura promedio mensual (abril 2026) a nivel de 70 hPa obtenida por la NOAA (-76.0°C, valor climático) y la obtenida por un equipo de altura (-75.9°C), valores similares. Hay que tener en cuenta que las temperaturas se incrementan a medida que aumenta la altitud (desde los 100 hPa hasta los 15 hPa) En latitudes más altas empieza a decrecer, cuando se presenta el vórtice polar.

En ese sentido, la tendencia del regimen térmico durante el mes, fue por lo general a un ligero calentamiento en latitudes medias y por ende mayores concentraciones de ozono con respecto a latitudes bajas.

FIGURA N° 9

Comportamiento del régimen térmico en la baja estratósfera para el mes de abril 2026



El comportamiento de temperaturas en el nivel de 70 hPa considerando todo el hemisferio sur en un día típico de abril, es mostrado en la Figura 10 (University of Wyoming) en donde se aprecia que las temperaturas, específicamente, en el continente Antártico han registrado mayormente valores de -60°C , considerado frío. Cabe remarcar que el vórtice polar empieza a aparecer paulatinamente por lo que las temperaturas en dicha región empezaron a disminuir. Este régimen térmico descendente tiene una gran influencia en la disminución de las concentraciones de ozono atmosférico.

A la posición de la tierra con respecto al sol (inclinación con respecto al plano ecuatorial) juega un papel importante en los procesos físico-químicos de la atmósfera. Asimismo, es importante señalar que aparte del factor astronómico, una disminución de la temperatura en ese nivel de la estratósfera (70 hPa) en la región tropical, se encontraría relacionada con un descenso en las concentraciones de ozono y viceversa, pero esto también va a depender de otros factores que no están considerados en este boletín como por ejemplo la concentración de otras sustancias químicas en forma de gas.

En latitudes bajas de América del Sur, las temperaturas en este mes, en la atmósfera alta (alta estratósfera), ha registrado un descenso, especialmente en los niveles de 5 hPa, 2 hPa y 1 hPa, pero aún por debajo de sus normales climáticas. Los procesos de transferencia radiativa paulatinamente han disminuido debido al establecimiento de la estación de otoño desde fines de marzo

Para el caso de nuestro país las temperaturas en el nivel de 70 hPa, según el gráfico mostrado, ha registrado un valor cercano a -74.0°C , permitiendo que las concentraciones de ozono atmosférico, en esta capa, hayan registrado un descenso con respecto al mes anterior, por efecto de factores como los flujos de viento con direcciones del norte y noreste, así como del este, principalmente, aunados a una moderada a baja relación de mezcla de ozono atmosférico.

En ese sentido, la tendencia del régimen térmico durante el mes, fue por lo general a un ligero calentamiento en latitudes medias y por ende mayores concentraciones de ozono con respecto a latitudes bajas.



III.-CONCLUSIONES

1. El mes de abril se caracteriza porque climáticamente las concentraciones de ozono (Columna total de ozono) sobre nuestro país (los medidos en superficie) son inferiores al mes de marzo. El promedio mensual fue de 241.6 UD, mientras que en el mes de marzo fue de 242.5 permitiendo concluir que los flujos de viento zonales, mayormente, se registraron en la estratósfera baja y media (70 hPa, 50 hPa, 30 hPa y 15 hPa). El mismo comportamiento lo tuvo la estratósfera alta.
2. En cuanto a la variación temporal (promedio diario) de la concentración de ozono durante el mes, medidos con el espectrofotómetro Dobson en el OVA Marcapomacocha, oscilaron entre 237.9 UD a 244.5 UD, límites inferior y superior, menores, al mes anterior. Ello está ligado a la moderada a baja relación de mezcla del ozono en capas de la estratósfera, aunados a los flujos de viento provenientes del noreste y sureste.
3. Con respecto a la distribución vertical del ozono según información obtenida por el Metop-C/GOME-2, durante un día típico del mes de abril, se puede concluir que la máxima concentración de la misma, en la región tropical del hemisferio sur, se registró entre los 50 hPa y los 8 hPa (baja y media estratósfera) con valores que oscilaron entre 14 UD y 24 UD (inferior al mes anterior), mientras que en latitudes medias del hemisferio sur, la altura de las máximas concentraciones se dieron entre los 80 hPa y 10 hPa con valores entre 20 UD y 24 UD. La disminución ligera en las concentraciones de ozono de este mes con respecto al de marzo, ha sido influenciada, en un primer momento, por vientos mencionados en la conclusión N°2, y en un segundo momento por la disminución de la actividad fotoquímica a nivel de 70 hPa debido al cambio de estación.
4. El registro de concentraciones de ozono atmosférico en latitudes altas del hemisferio norte, oscilaron entre 32 UD y 40 UD, entre la baja y media estratósfera 250 hPa y 30 hPa a lo largo de 65°N - 90°N). Durante el mes de abril se registraron procesos físicos de moderada a baja relación de mezcla de ozono de latitudes medias a altas, influenciados mayormente por los vientos del oeste y sur mayormente, el algún momento del suroeste, el cual permitió la incrementar concentraciones de ozono atmosférico, algo parecido al mes anterior, pero con una ligera tendencia a la disminución. Por otro lado, en latitudes bajas del mismo hemisferio se registraron concentraciones de ozono entre 13 UD y 23 UD a una altura entre 65 hPa y 8 hPa. A estos procesos se les



.....

suma la Oscilación Quasi Bienal (QBO) así como el impacto que ejerce la circulación Brewer-Dobson en esta parte del hemisferio.

5. La concentración de vapor de agua que se pueda tener en la estratósfera es importante para el balance radiativo de la atmósfera, así como para la variabilidad en el comportamiento del ozono. Sobre nuestro país, al nivel de 46 hPa, se observó una ligera disminución con valores entre 4.00 ppmv y 4.15 ppmv, lo cual demuestra que, a pesar de encontrarnos en el límite superior de la estratósfera baja, se registran todavía ciertas cantidades de vapor de agua (con tendencia a continuar disminuyendo en el otoño), lo cual tiene incidencia en las concentraciones de ozono atmosférico, en esa región Cabe resaltar que concentraciones menores de vapor de agua, especialmente en la baja estratósfera, afectan grandemente el comportamiento espacial y temporal de este gas, sobre nuestras latitudes.
6. De acuerdo a la información real de viento obtenida para las diferentes capas de la estratósfera baja y media se concluye que uno de los factores que ha permitido, que los valores de ozono atmosférico hayan disminuido, han sido los vientos mayormente del noreste, este y sureste a nivel de 70 hPa, los cuales permitieron un aporte moderado a bajo de ozono.
7. Los mapas de ozono total atmosférico (provenientes de la plataforma OMI del satélite AURA de la National Aeronautics and Space Administration - NASA), mostraron un comportamiento de ozono sobre nuestro país, con un continuo descenso, especialmente en la región central y sur con valores que oscilaron entre 225 UD y 250 UD, como producto de la presencia de vientos zonales.
8. En lo que concierne al comportamiento del régimen térmico en la baja estratósfera (70 hPa) del hemisferio sur, especialmente en la región Antártica se puede mencionar que el mes de abril se caracterizó por registrar valores de -60.0°C (físicamente "más fría"), permitiendo una baja mezcla de ozono proveniente de latitudes medias y bajas. Sobre nuestro país se registró una temperatura de -73.0°C . Para un mejor análisis de este comportamiento se requiere considerar otros factores que no están definidos en el presente boletín, como, por ejemplo, gases con componentes químicos, circulación atmosférica, actividad fotoquímica.
9. Debido al comportamiento de la temperatura en las diferentes capas de la estratósfera, realizadas con equipos de altura sobre la sierra central



del Perú (departamento de Junín), se concluye que, en la estratósfera baja, se registraron condiciones térmicas con tendencia hacia un calentamiento 100 hPa, 50 hPa, 30 hPa y 15 hPa, mientras que en 70 hPa se observó un ligero enfriamiento.

10. A medida que transcurran los días, la actividad fotoquímica continuará con el descenso por el establecimiento de la estación de otoño.
11. Se requiere disponer de información real de la concentración de ozono total a nivel del perfil vertical de la atmósfera a fin de realizar el contraste respectivo con lo obtenido por los satélites y determinar la desviación respectiva. En los periodos donde no se tenga información real, se podría utilizar el brindado por los satélites aplicando ciertos algoritmos de cálculo.



Dirección de Meteorología y evaluación Ambiental Atmosférica:

Ing. Grinia Jesús Avalos Roldán

gavalos@senamhi.gob.pe

Subdirección de Evaluación del Ambiente Atmosférico:

Ing. Elvis Anthony Medina Dionicio

eamedina@senamhi.gob.pe

Análisis y Redacción:

Ing. Orlando Ccora Tuya occora@senamhi.gob.pe

Bach. Juan Tacza Ordoñez

Tco. Rosalinda Aguirre Almeyda

Tco. Julia Astudillo Capcha

Suscríbete para recibir la edición digital al enlace: <https://forms.gle/cqZit9WHG7gLktbT6>

Próxima actualización: 15 de junio de 2026



**Servicio Nacional de Meteorología e
Hidrología del Perú - SENAMHI**

Jr. Cahuide 785, Jesús María

Lima 11 - Perú

**Central telefónica: [51 1] 614-1414 anexo 444
Subdirección de Evaluación del Ambiente
Atmosférico:**